

Boletín Asoc. esp. Entom. - Vol. 13: páginas 269-276. Salamanca, Noviembre 1989

**El género *Syzeuctus* Foerster, 1868  
en las Islas Canarias, con la descripción de una  
nueva especie: *S. baezi* n. sp.  
(*Ichneumonidae*, *Banchinae*)**

G. Ortega

**RESUMEN:**

Se revisa el género *Syzeuctus* Foerster, 1868 en las Islas Canarias, describiéndose una nueva especie, *S. baezi* n. sp.

**Palabras clave:** *Syzeuctus*, *Ichneumonidae*, *Hymenoptera*, Islas Canarias.

**SUMMARY**

**The genus *Syzeuctus* Foerster, 1868 in the Canary Islands, with the description of a new species: *S. baezi* n.sp. (*Ichneumonidae*, *Banchinae*).**

The genus *Syzeuctus* Foerster, 1868 is revised in the Canary Islands and a new species, *S. baezi* n. sp., is described.

**Key words:** *Syzeuctus*, *Ichneumonidae*, *Hymenoptera*, Canary Islands.

La subfamilia *Banchinae* esta integrada en las Islas Canarias por las tribus *Banchini* y *Lissonotini*, frente a las cinco que posee a nivel mundial (TOWNES, 1969). A la Última de ellas pertenece el género *Syzeuctus* Foerster, 1868, hasta ahora representado en el Archipiélago por la especie *S. tigris* Seyrig, 1926, de distribución mediterránea. Actualmente, hay que añadir el descubrimiento del endemismo *S. baezi* n. sp.

La especie *S. tigris* Seyrig, 1926 fue citada por primera vez para el Archipiélago Canario (Gran Canaria) por HELLEN (1949), siendo esta referencia recogida posteriormente por BAEZ y ORTEGA (1978) y AUBERT (1978). Más tarde, IZQUIERDO y REY (1985) ampliaron su distribución a Tenerife, siendo por último citada como novedad para la isla de Gomera por REY (en prensa).

Para la identificación de *S. baezi* n. sp. han sido utilizadas en el presente trabajo las claves de SEYRIG (1928) y las de REY (1985), que la sitúan próxima a *S. ceballosi* Seyrig, 1926, *S. maculatorius* (Fabricius, 1787) y *S. dusmeti* Seyrig, 1928; mientras que las claves de SCHMIEDEKNECHT (1906-1908) nos han servido para diferenciar la nueva especie de *S. lunigera* Brauns, 1888. Asimismo, hemos tenido la oportunidad de comparar la nueva especie con especímenes de la serie típica de *S. dusmeti* Seyrig, 1928.

El material estudiado en la presente revisión forma parte de las siguientes colecciones: Museo Insular de Ciencias Naturales de Santa Cruz de Tenerife (TFMC), Museo Nacional de Ciencias Naturales de Madrid (MNCN), Zoological Museum de Helsinki (ZMH) y colección privada de D. Francisco La Roche (FLR).

#### CLAVE DE LAS ESPECIES PRESENTES EN CANARIAS

- Quilla transversal apical del propodeo presente sólo lateralmente de forma poco patente (Lám. I: Figs. 2, 3). Nervulus postfurcal (Lám. I: fig. 4). Tórax con escultura formada por gruesas y fuertes puntuaciones; coloración amarilla y negra, según se muestra en Lám. I (figs. 1, 2), con manchas muy bien delimitadas. Gáster marrón oscuro, con los márgenes apicales de los terguitos, y en la hembra también los segmentos finales lateralmente, de color amarillo. Terguitos sin protuberancias baso-laterales. Ovopositor tan largo como el tórax y el abdomen juntos. Antenas con 30 artejos flagelares; el último 1.5 la longitud del precedente y aguzado desde su mitad ..... *S. tigris* Seyrig
- Quilla transversal apical del propodeo presente y bien patente, a excepción de las porciones laterales (Lám. II: fig. 8). Nervulus intersticial (Lám. II: fig. 7). Tórax con escultura más delicada y fina, siendo el tegumento en determinadas zonas muy liso y brillante; coloración general amarilla, apareciendo manchas negras, en su mayoría lineales, en las zonas que se indican en Lám. II (fig. 5). Gáster tricolor, siendo el amarillo el color dominante. Terguitos II-III-IV con suaves protuberancias baso-laterales. Ovopositor de longitud igual a la del cuerpo. Antenas más largas; flagelo con 32 segmentos, el último más del doble de largo que el precedente y más o menos redondeado en el ápice (Lám. II: fig. 4) ..... *S. baezi* n. sp.

**Syzeuctus tigris** Seyrig, 1926  
(Lam. 1)

- DISTRIBUCION MUNDIAL: Egipto; España, Francia; Canarias.
- DISTRIBUCION INSULAR: Gran Canaria (HELLEN, 1949; BAEZ y ORTEGA, 1978), Tenerife (IZQUIERDO y REY, 1985), Gomera (REY, en prensa).
- MATERIAL ESTUDIADO: Tenerife: Güímar (Arenales), 18-VI-1928, 1♂ (A. Cabrera, MNCN); Charca del Pino (Mía. de Chinama), 23-IX-1925, 1♀ (A. Cabrera, MNCN); El Médano, 2.22-IX-1923, 1♂ (A. Cabrera, MNCN), 20-IX-1905, 1♀ (A. Cabrera, MNCN).  
Gran Canaria: Tafira, VI.VIII-1931, 1♀ (R. Stora, ZMH); Fataga, 1-IX-1977, 1♀ (G. Ortega, TFMC); Marzagán, 17-II-1985, 1♂ (G. Ortega, TFMC); Guía, 19-X-1984, 1♂, 3♀♀ (F. La Roche, FLR); Telde, 14-VI-1984, 1♀ (F. La Roche, FLR); Bandama, 19-X-1984, 1♀, (F. La Roche, FLR); Las Palmas, 21-V-1988, 1♀ (F. La Roche, FLR).
- BIOLOGIA: Hospedador desconocido (AUBERT, 1978).

**Syzeuctus baezi** n. sp.  
(Lám. 11)

♀ : Cabeza transversa vista dorsalmente (Fig. 3). Tegumento delicado y brillante, finamente esculpido, distinguiéndose a nivel del clípeo, la cara, salvo en la parte central longitudinal de ésta, y el vértex, puntuaciones más toscas aunque bastante distanciadas entre sí. Pilosidad fina, erecta, blanquecina y relativamente aislada de forma homogénea. Coloración general amarilla, más clara y nítida en el centro de la cara, en la frente y en el vértex. Desde la parte superior de la cara, linealmente, se extiende una mancha negra que discurre entre las fosetas antenales (Fig. 1), ensanchándose posteriormente y llegando a englobar a cada uno de los ocelos laterales independientemente (Fig. 3). Postoccipucio manchado de negro, llegando este color ventralmente hasta casi la base del aparato bucal. En la zona dorso-lateral la mancha negra asciende un poco por encima de la carena occipital. Cabeza, vista anteriormente, con el eje axial casi tan largo como el transversal (Fig. 1). Cara convexa centralmente, prolongándose suavemente con el clípeo, cuya superficie se presenta plana vista lateralmente (Fig. 2). Clípeo más ancho que largo, su borde liso y redondeado. Orificios clipeales patentes y negros (Fig. 1). Surco epistomal ausente. Mandíbulas amarillas con los dientes marrones, oscurecidos apicalmente. Borde inferior con una lamela evidente que se extiende y adelgaza hacia la base de los dientes; éstos de desigual longitud, el superior más ancho y largo que el inferior (Fig. 1). Palpos maxilares y labiales amarillos. Ojos prominentes hacia los lados, con las Órbitas internas algo sinuadas ligeramente por detrás de la inserción de las antenas (Fig. 1). Espacio malar casi tan largo como la anchura basal de la mandíbula (Fig. 1, 2). Ocelos más bien pequeños; los laterales separados entre sí por una distancia igual a 3.0 su diámetro, y cada uno de ellos separado del ojo adyacente por una distancia aproximada a 1.5 su diámetro (Fig. 3). En toda esta zona posterior de la cabeza el tegumento presenta partes de gran transparencia. Carena occipital completa. Carena genal algo sinuosa a la altura de la mitad inferior del ojo y alcanzando directamente

la base de la mandíbula. Antenas más cortas que el cuerpo. Flagelo con 32 artejos. Escapo grande y negro, manchado en su mitad apical oblicuamente de amarillo (Fig. 2). Pedicelo también manchado linealmente del mismo color en el ápice. Los dos primeros artejos del flagelo muy oscurecidos, casi negros; a partir del tercer segmento la coloración se hace más clara, de forma que las antenas adquieren un color pardo-rojizo. Postannellus con una longitud aproximada a 1.5 la del siguiente segmento (Fig. 2); éste y el tercero casi iguales. Último artejo largo, más del doble de la longitud del precedente (Fig. 4); oscurecido y redondeado en el ápice.

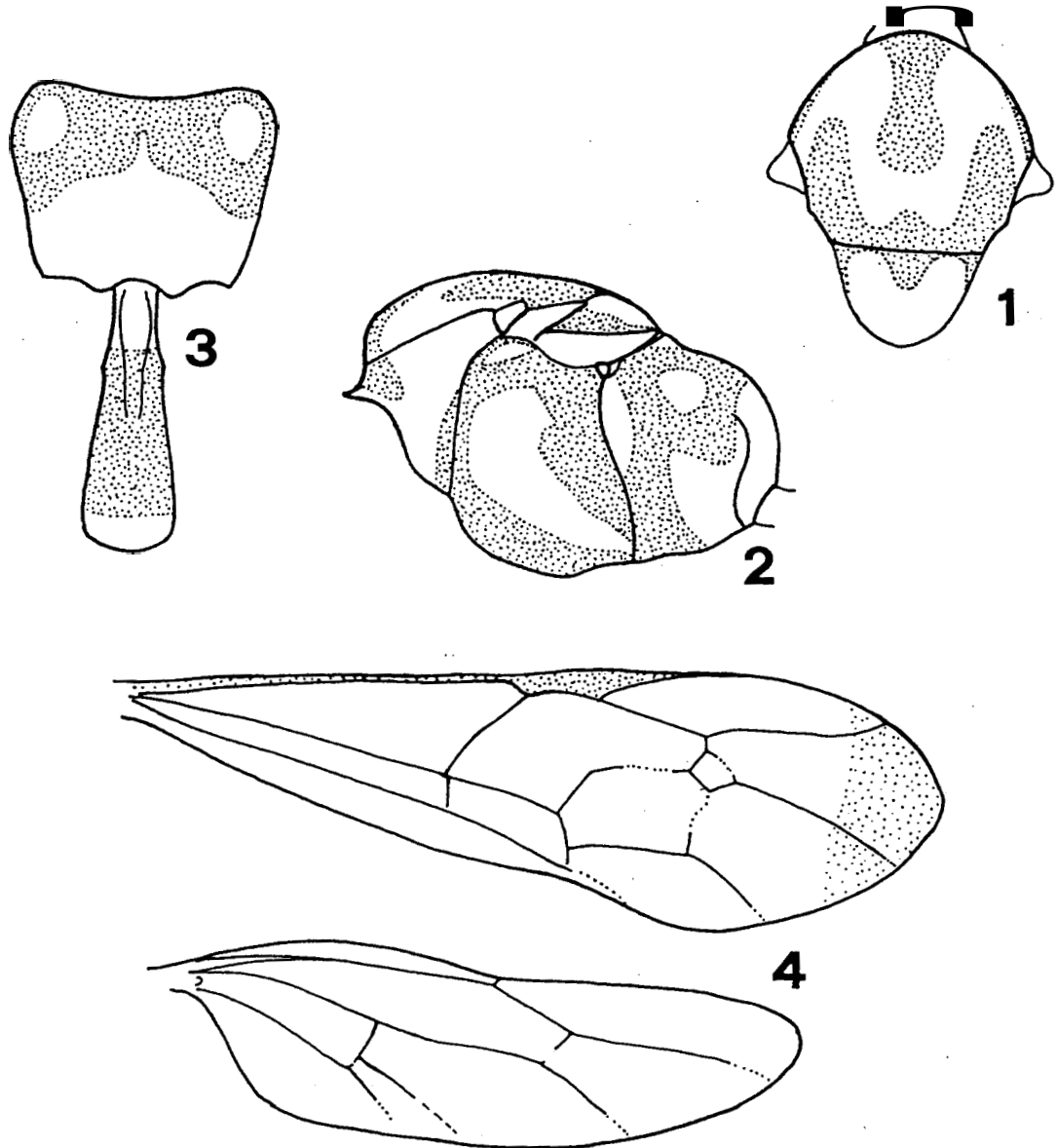
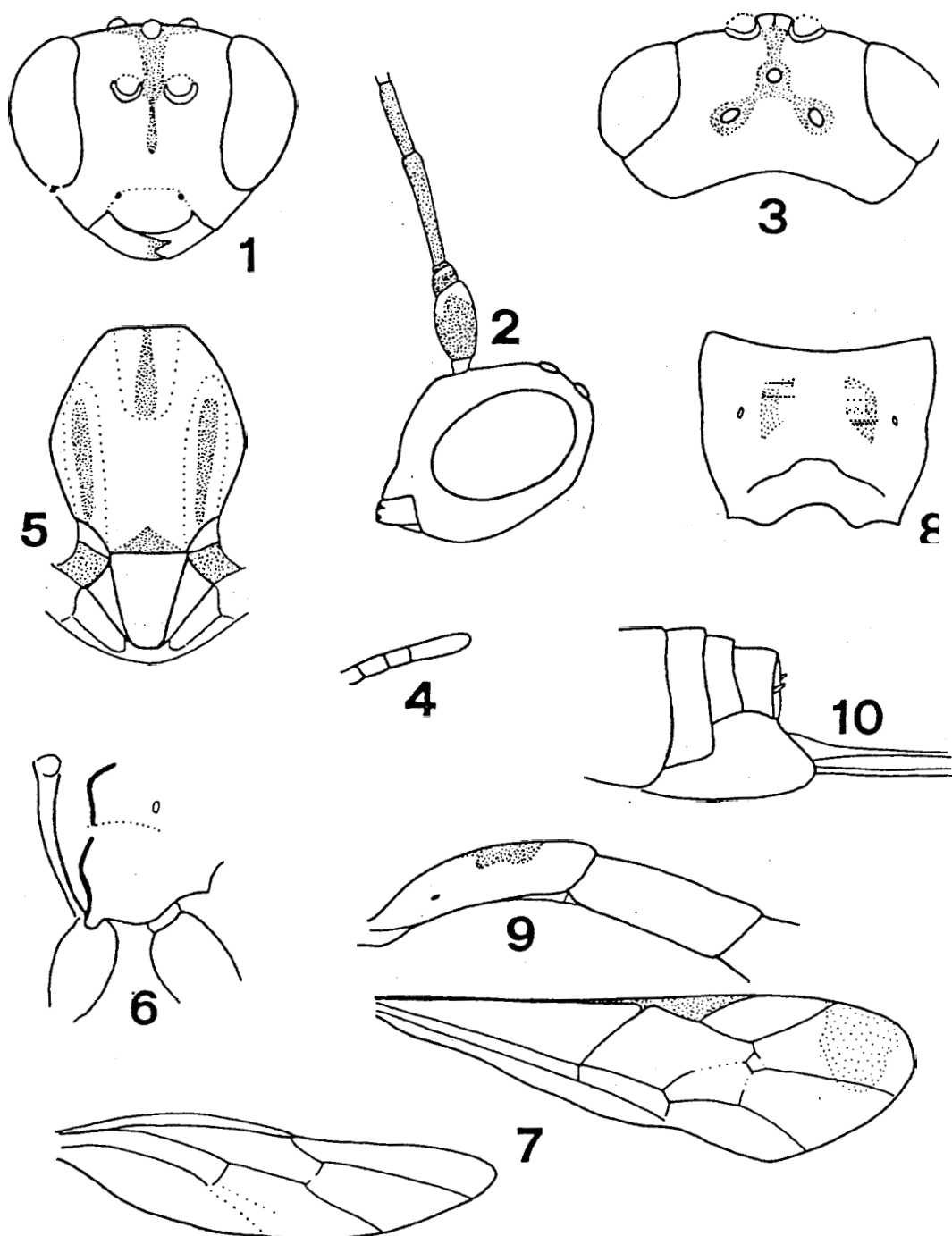


Lámina I: *Syzeuctus tigris* Seyrig. Fig. 1. Mesoescudo y escudete (♂). Fig. 2. Tórax visto lateralmente (♀). Fig. 3. Propodeo y segmento I del gáster (♀). Fig. 4. Alas anterior y posterior.

Lámina I: *Syzeuctus tigris* Seyrig. Fig. 1. Scutum and scutellum (♀). Fig. 2. Thorax, lateral view (♀). Fig. 3. Propodeum and gaster segment I (♀). Fig. 4. Fore and hind wings.



Lamina II: *Syzeuctus baezi* n. sp. ♀. Fig. 1. Cabeza vista frontalmente. Fig. 2: Cabeza vista lateralmente. Fig. 3. Cabeza vista dorsalmente. Fig. 4. Detalle del ápice de la antena. Fig. 5. Mesoescudo y escudete. Fig. 6. Detalle de la mesopleura. Fig. 7. Alas anterior y posterior. Fig. 8. Propodeo. Fig. 9. Segmentos 1-11 del gáster. Fig. 10: Apice del gáster y placa subgenital.

Lamine II: *Syzeuctus baezi* n. sp. ♀. Fig. 1. Head in frontal view. Fig. 2. Head seen laterally. Fig. 3. Head in dorsal view. Fig. 4. Apex of the antenna. Fig. 5. Scutum and scutellum. Fig. 6. Detail of the mesopleura. Fig. 7. Fore and hind wings. Fig. 8. Propodeum. Fig. 9. Gaster segments 1-11. Fig. 10. Apex of abdomen and subgenital plate.

Tórax algo más largo que los dos primeros segmentos del gáster. Tegumento ligeramente brillante a nivel de las propleuras, mesosterno, ápice del escudete y del propodeo, y postescudete; en el resto del tórax se presenta más o menos mate. Escultura formada por puntuaciones gruesas y marcadas, bastante aisladas entre sí, y concentradas a nivel de las pleuras, escudete, postescudete y propodeo. Las puntuaciones se presentan más aisladas en los laterales del mesoescudo, ápice del propodeo y base del mesosterno. Tegumento muy liso y brillante en la parte anterior de las propleuras, junto a la epomia. Pilosidad abundante, erecta y blanca; bastante visible aunque también muy delicada y corta. Coloración amarilla con ligeros tintes rojizos en las pleuras y el propodeo. Se presentan manchas negras en las siguientes zonas: una central y dos laterales, más o menos lineales, en el mesoescudo, estando bordeadas por un halo donde el tegumento parece adquirir más transparencia (Fig. 5); una triangular en la unión con el escudete y otra en la mitad inferior de la axila (Fig. 5); dos manchas en la base del propodeo (Fig. 8), estando este esclerito bordeado lateralmente de una línea negra que llega hasta las metapleuras (Fig. 6); una mancha transversa, relativamente ancha, debajo de la prominencia subalar y otra, más o menos redondeada, a la altura del orificio de la mesopleura. El mesosterno y metasterno presentan dos manchas lineales, sumándose al primero dos zonas con el tegumento bastante transparente. Mesoescudo sin notauli (Fig. 5). Escudete y postescudete redondeados suavemente (Fig. 5). Epomia bien patente. Carena prepectal completa, sin alcanzar lateralmente el borde anterior de la mesopleura (Fig. 6). Carena postpectal ausente. Propodeo corto y suavemente convexo. Espiráculos alargados. Quilla transversal apical patente centralmente (Fig. 8). Lóbulo submetapleural en forma de delicado alerón, más o menos redondeado, junto a la coxa intermedia (Fig. 6). Patas de coloración general amarilla, presentando más o menos rojizas las coxas intermedias en casi toda su extensión, parte de las coxas posteriores, y los trocánteres, fémures y tibias de todas las patas en la superficie interna. Coxas de las patas posteriores en su cara interna, y trocánteres y fémures de los tres pares de patas con una mancha lineal negra; los fémures posteriores presentan esta franja más difuminada y clara que los restantes. Uñas con pocos dientes bastante aislados entre sí. Alas anteriores (Fig. 7) manchadas subapicalmente con una neta franja oscura. Areola subtriangular, largamente peciolada superiormente y con una fenestra en la mitad inferior del nervio externo. Segundo nervio recurrente partiendo algo posteriormente al centro de la areola, con una fenestra superiormente. Nervulus intersticial. Alas posteriores (Fig. 7) con el nervellus interceptado muy inferiormente por la despigmentada descoidella.

Gáster deprimido salvo en el ápice. Tegumento con escultura muy fina y delicada. Pilosidad corta. Coloración general amarilla, apareciendo en el terguito I una mancha central marrón-rojiza en el ápice y negra basalmente (Fig. 9). A partir del tergo II estas manchas tienden a ser más rojizas y más extendidas por la superficie, quedando en los segmentos una franja apical ancha amarilla. Los terguitos II-III presentan, asimismo, dos líneas sublaterales negras. Terguito I convexo, visto de perfil, con los espiráculos situados en la mitad basal, a una distancia 0.3 de la base (Fig. 9). Terguitos I-IV con la epipleura separada por un plegamiento. Terguitos II-IV con suaves protuberancias basolaterales. Placa subgenital ancha y corta, suavemente apun-

tada en el ápice (Fig. 10) y claramente hendida en la línea media. Ovopositor rojizo, tan largo como la totalidad del cuerpo, suavemente apuntado. Valvas oscuras.

Longitud: 10 mm. (excluido el ovopositor).

♂: Desconocido.

- DISTRIBUCION MUNDIAL: Islas Canarias.
- DISTRIBUCION INSULAR: La Graciosa.
- MATERIAL ESTUDIADO: La Graciosa: Holotipo ♀ , 2-111-1987, 1 ♀ (F. La Roche, FLR) . Holotipo depositado en el Museo Insular de Ciencias Naturales de Santa Cruz de Tenerife.
- DERIVATIO NOMINIS: Especie dedicada al Dr. M. Báez por la valiosa ayuda que siempre me ha ofrecido en el estudio de los himenópteros.

## DISCUSIÓN

La decisión de describir esta nueva especie basándonos en un solo ejemplar queda justificada si tenemos en cuenta las notables diferencias que presenta con las especies más afines del género, diferencias que son comentadas a continuación:

*Syzeuctus baezi* n. sp. es próxima a *S. dusmeti* Seyrig, 1928, de la que se distingue claramente por su menor tamaño, con el cuerpo **más** delgado y grácil, y las antenas más cortas y delgadas, con **32** artejos flagelares. Posee además la quilla transversal apical (Fig. 8) del propodeo patente y bien desarrollada en su porción central. Nervulus intersticial (Fig. 7). Terguitos II-III-IV presentando suaves protuberancias baso-laterales, donde la coloración amarilla se hace más pálida. Placa subgenital no tan apuntada como en *S. dusmeti* Seyrig, más redondeada y ancha (Fig. 10). Ovopositor mucho más largo que en aquella especie, de mayor longitud que la cabeza y el tórax juntos. El tegumento, a diferencia de *S. dusmeti* Seyrig, se presenta muy liso y brillante, con escultura prácticamente nula, nunca tan fuertemente esculpida como en dicha especie.

Aparte de estos caracteres estructurales, *Syzeuctus baezi* n. sp. se distingue también de forma evidente en la coloración del cuerpo: la mancha negra de la frente y vértex se extiende más estrechamente que en *S. dusmeti* Seyrig, englobando independientemente a cada uno de los ocelos; nunca alcanzando la mitad apical de las sienas. El tórax (Fig. 5) no presenta las manchas negras definidas que aparecen en esta especie, distinguiéndose sólo manchas lineales de este color, como se detalla en la descripción, y presentando zonas más o menos rojizas a nivel de las pleuras y propodeo. Los tres primeros segmentos del gáster poseen una coloración triple, predominando el amarillo, mientras que en *S. dusmeti* Seyrig la coloración rojiza aparece a partir del terguito IV.

*Syzeuctus baezi* n. sp. está próxima también a *S. macuiatorius* (Fabricius, 1787) Y a *S. ceballosi* Seyrig, 1926, distinguiéndose de ambas en la coloración amarilla de los fémures, principalmente los de las patas posteriores, y en la quilla propodeal api-

cal, que no se presenta totalmente completa (Fig. 8) como ocurre en *S. maculatorius* (Fabr.), ni tampoco aparece borrada centralmente, carácter propio de *S. ceballosi* Seyrig. Por otro lado, el mesosterno es largo en *Syzeuctus baezi* n. sp., casi el doble de la longitud de las coxas de las patas intermedias.

De *S. lunigera* Brauns, 1888 se diferencia, asimismo, por la coloración del gáster, tricolor, abundando las tonalidades amarillas, tal y como se ha indicado; por los fémures de las patas posteriores, amarillos con una mancha lineal longitudinal negra en la cara interna; y por la coloración de la cabeza y el tórax, predominando en ambas regiones corporales el amarillo, como se detalla en la descripción.

#### AGRADECIMIENTOS

Expresamos nuestro más sincero agradecimiento a la Dra. C. Rey (Museo Nacional de Ciencias Naturales, Madrid), al Dr. A. Albrecht (Zoological Museum, Hensinki), a D. Francisco la Roche y a D. Sergio Socorro.

#### BIBLIOGRAFÍA

- AUBERT, J.-F., 1978. *Les Ichneumonides Ouest-Paléarctiques et leurs hotes. 2. Banchinae et Suppl. aux Pimplinae*. E.D.I.F.A.T.-O.P.I.D.A.: 318 págs.
- BAEZ, M. & G. ORTEGA, 1978. Lista preliminar de los himenópteros de las Islas Canarias. *Bol. Asoc. esp. Entom.*, 2: 185-199.
- HELLEN, W., 1949. Iter entomologicum et botanicum ad insulas Madeiram et Azores anno 1938 a Richard Frey, Rognar Stora et Carl Cedercreutz factum. NP 17. Zur Kenntnis der Ichneumonidenfauna der Atlantischen Inseln. *Soc. Sc. Fenn., Comm. Biol.*, VIII (17): 1-23.
- IZQUIERDO, I. & C. REY, 1985. *Ichneumonidae* nuevos para Canarias y nuevas localidades (Hym., Ichn.). *Graellsia*, XLI: 105-111.
- REY, C., 1985. Las especies españolas del género *Syzeuctus* Foerster, 1868 (Hym., Ichneumonidae). *Soc. port. Entomol., Supl. 1. II Congreso Ibérico de Entomología*: 7-16.
- REY, C., en prensa. Los Ichneumonidos de la subfamilia *Banchinae* en las Islas Canarias (Hym., Ichneumonidae). *Vieraea*.
- SCHMIEDEKNECHT, O., 1906-1908. *Opuscula Ichneumonologica. III Band. Pimplinae*: 1001-1403.
- SEYRIG, A., 1928. Études sur les Ichneumonides (Hym.). *Eos*, IV (3-4): 375-398.
- TOWNES, H., 1969. The genera of Ichneumonidae, Part 3. *Mem. Am. Entom. Inst.*, 13: 307 págs.

Fecha de recepción: 31 de octubre de 1988  
Fecha de admisión: 21 de abril de 1989

Gloria Ortega  
Museo de Ciencias Naturales  
Apdo. correos 853  
38080 Santa Cruz de Tenerife